



Chariot de golf autonome



Réalisé par : Anouar DAKH

Code CNC : AGo43T

Plan de présentation :



01

Introduction



02

Problematique



03

Cahier de
charge



04

Objectifs



05

Conclusion

Introduction :

Forecast of golf player distribution in Europe in 2020, by age group

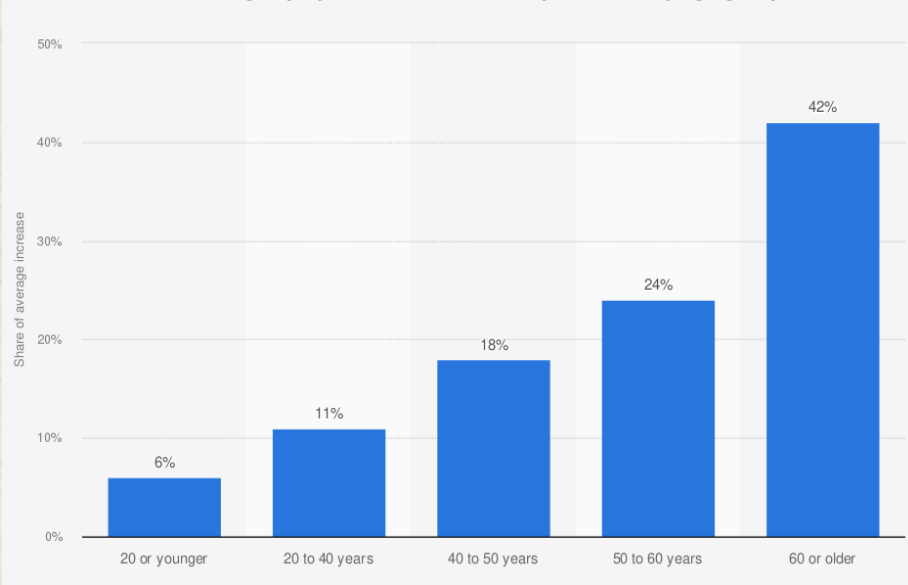


Fig 1 : Graphique des données démographiques des golfeurs par âge en Europe

Causes des blessures au golf

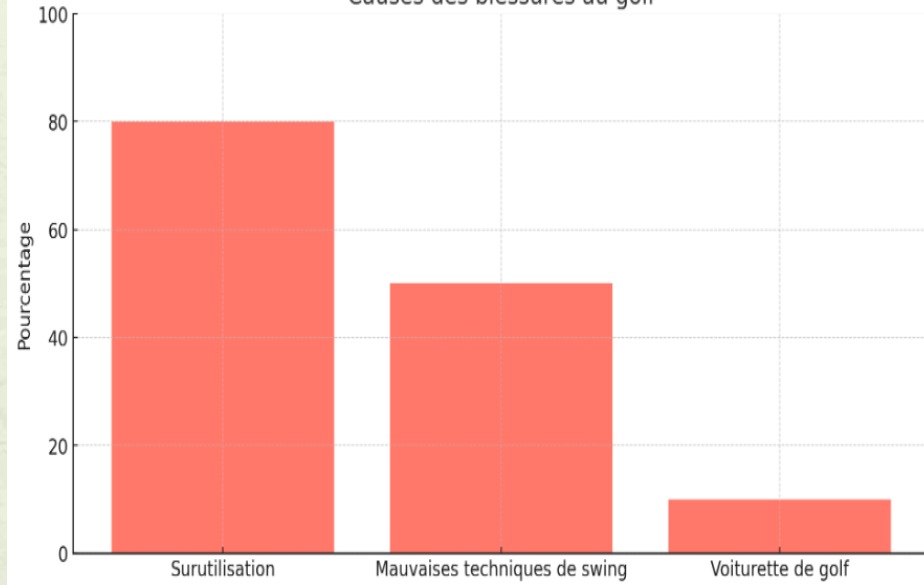


Fig 2 : Graphique des causes de blessures au Golf

Introduction :



Fig 3 : Golfeur portant un sac chariot





Problématique

Comment développer un chariot de golf automatisé pour prévenir les blessures dorsales et optimiser le confort des joueurs tout au long de leur partie?

Cahier de charge :

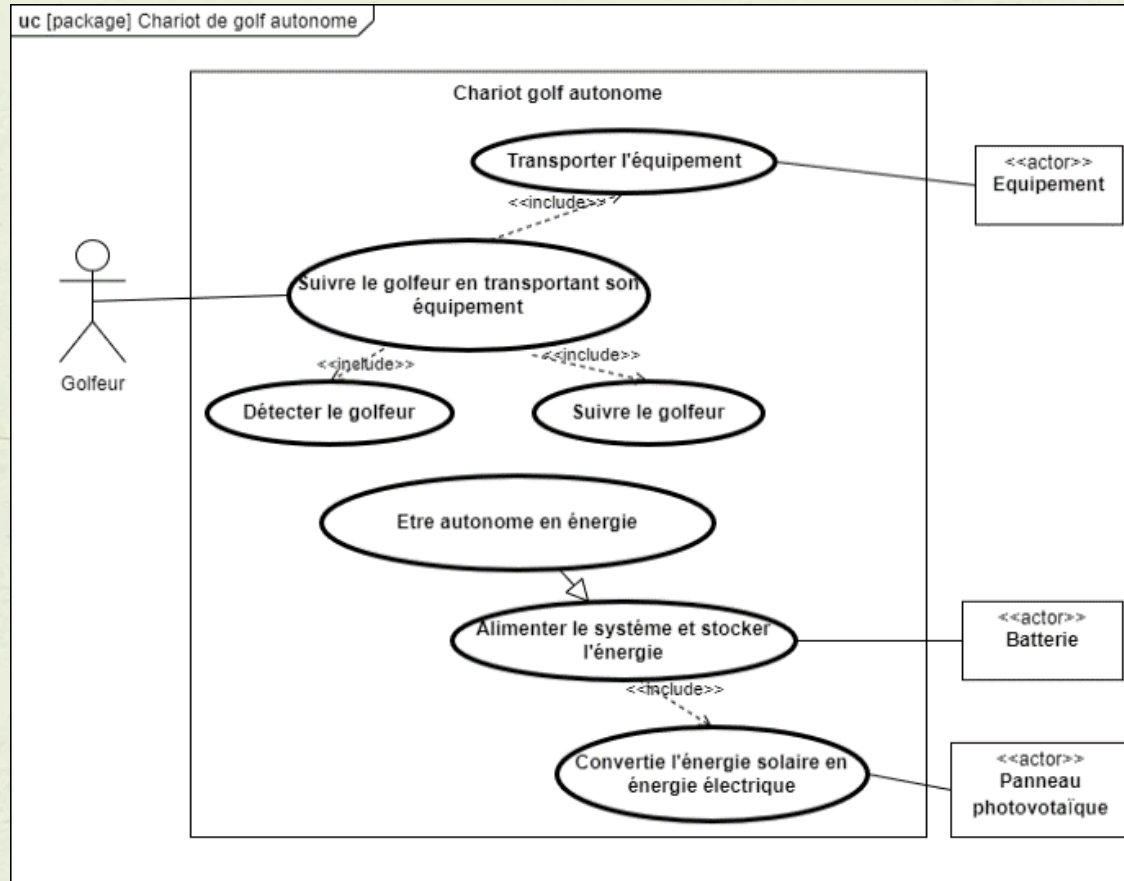


Fig 4 : Diagramme de cas d'utilisation

Cahier de charge :

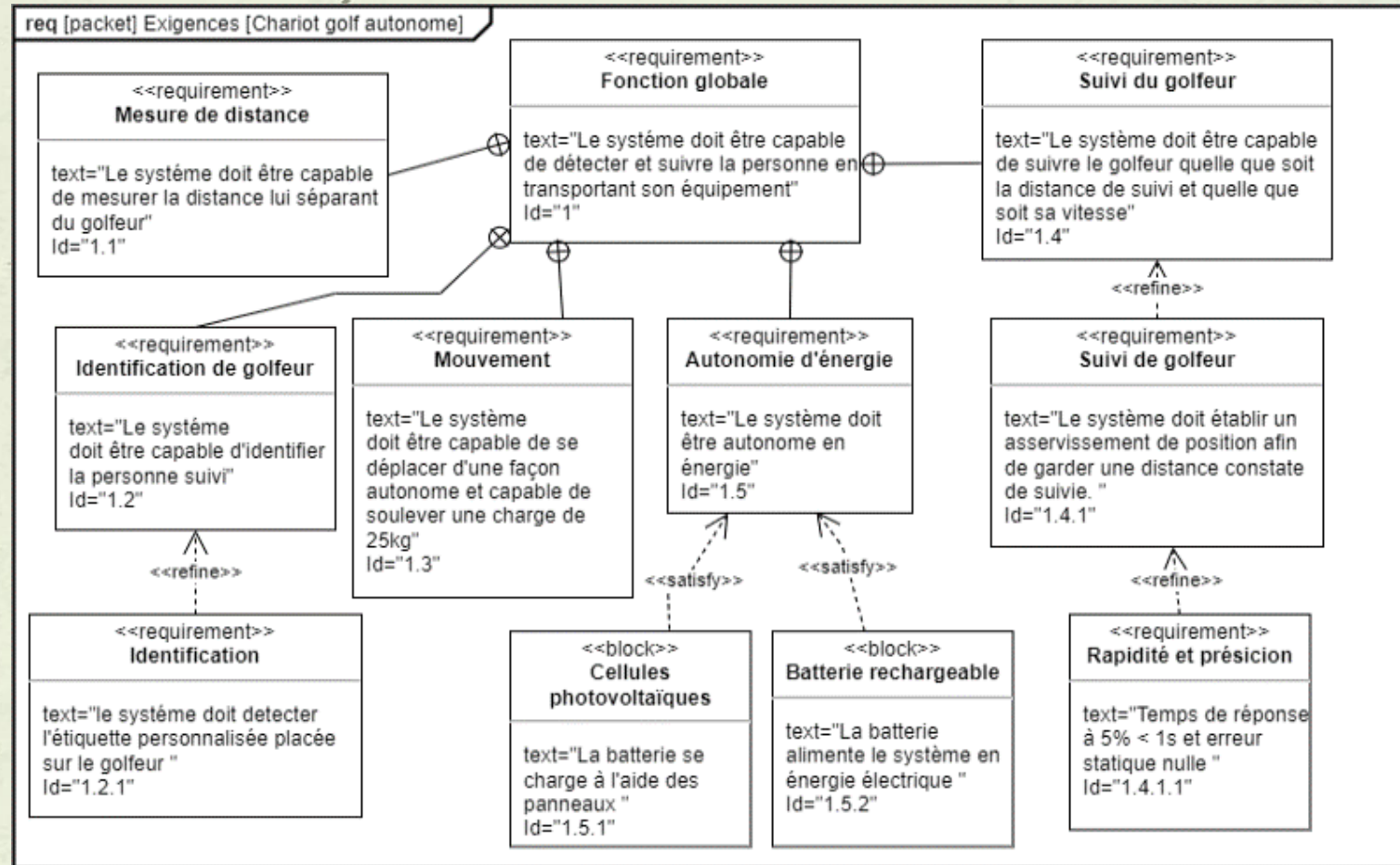


Fig 5 : Diagramme des exigences

Cahier de charge :

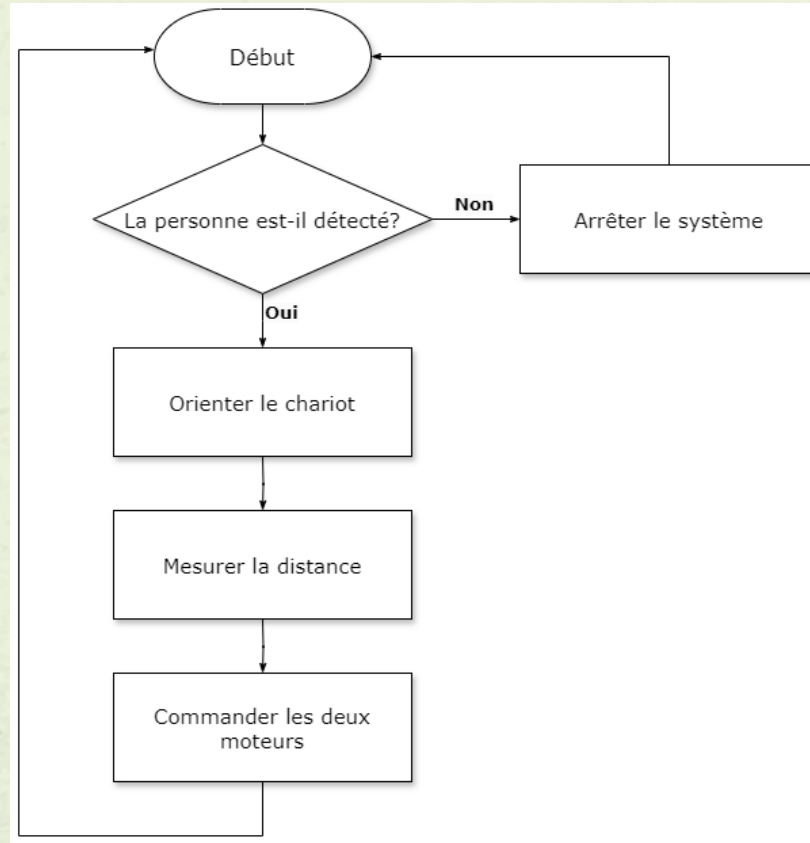


Fig 6 : Organigramme de fonctionnement

Objectifs



**1-Mesure de
distance**



**2-Détection du
golfeur**



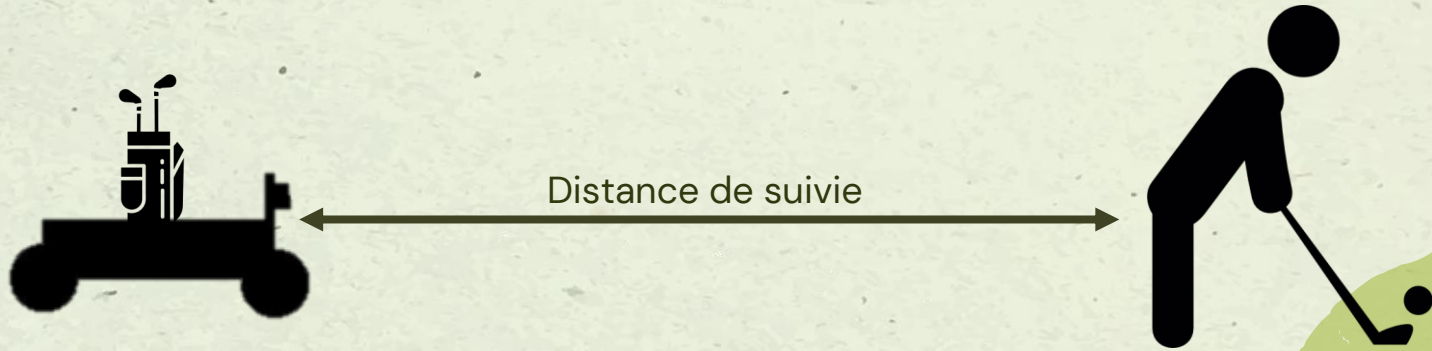
**3-Orientation du
chariot**



**4-Alimentation du
système**



1-Mesure de distance :



Quel capteur fonctionne mieux pour mesurer la distance en notre cas?

Mesure de distance par Ultrason «HC-SR04»:

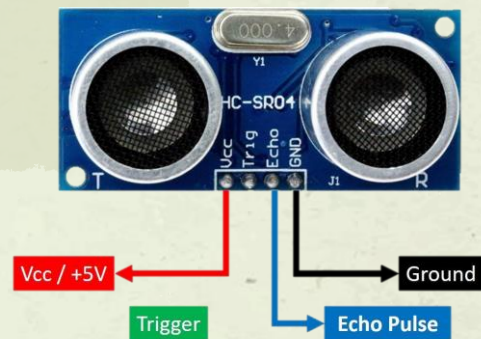


Fig 7 : Capteur Ultrason HC-SR04

Caractéristique	Valeur
Plage de mesure	2cm à 400cm
Résolution de la mesure	Environ 3 mm
Angle de mesure efficace	15 degrés
Fréquence des impulsions	40 kHz
Tension d'alimentation	5V CC
Durée minimale de chaque cycle de mesure	Environ 50 ms

Fig 8 : Tableau de caractéristique du capteur ultrason HC-SR04

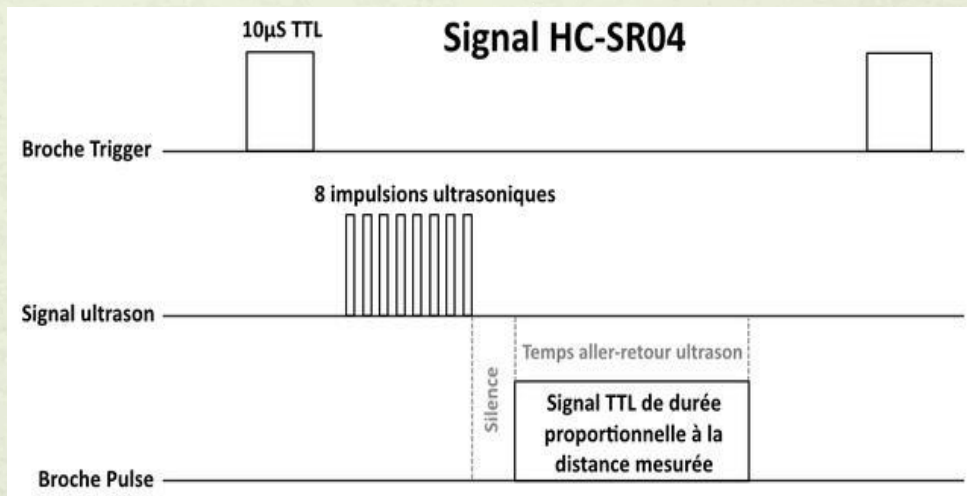


Fig 9 : Schéma démonstratif du fonctionnement du HC-SR04



Mesure de distance par Ultrason «HC-SR04»:

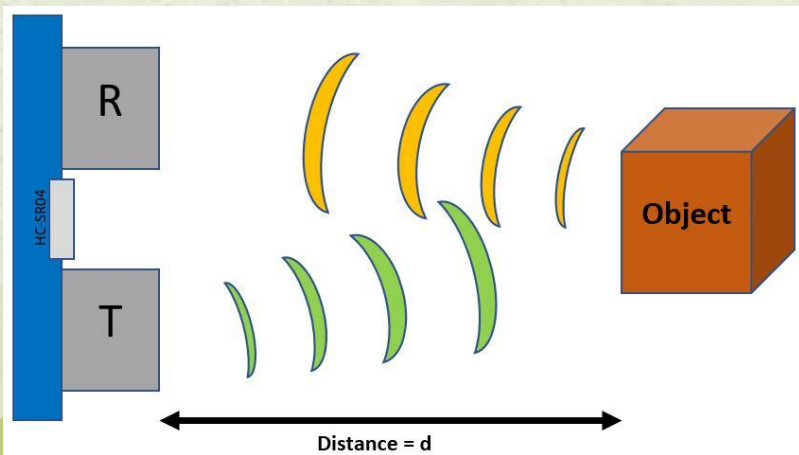


Fig 10 : Schéma démonstratif de détection du HC-SR04

Calcule de la distance :

$$D = C \times \frac{\Delta t}{2}$$

Avec:

C : Vitesse de son dans l'air égale à environ 340 m/s

Δt : le temps qu'il faut à l'écho sonore pour revenir



Expérience de mesure de distance:

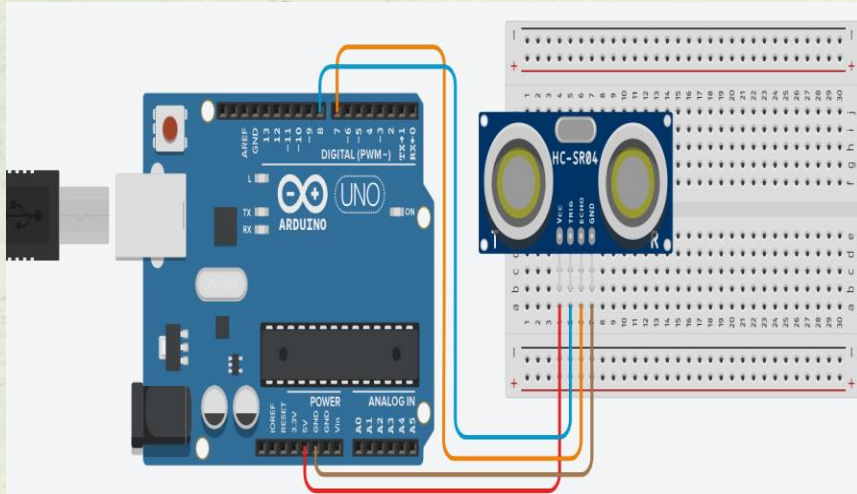


Fig 11 : Circuit utilisée en expérience



Fig 12 : Expérience de mesure distance par HC-SR04



Résultats de l'expérience : Linéarité

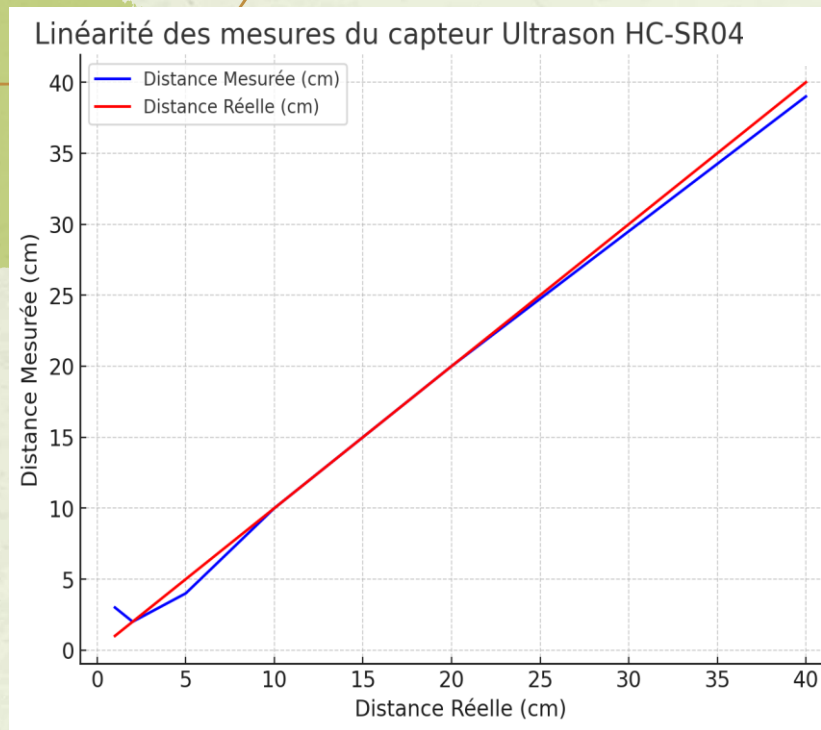


Fig 13 : Linéarité du capteur pour valeurs de 1cm à 50 cm

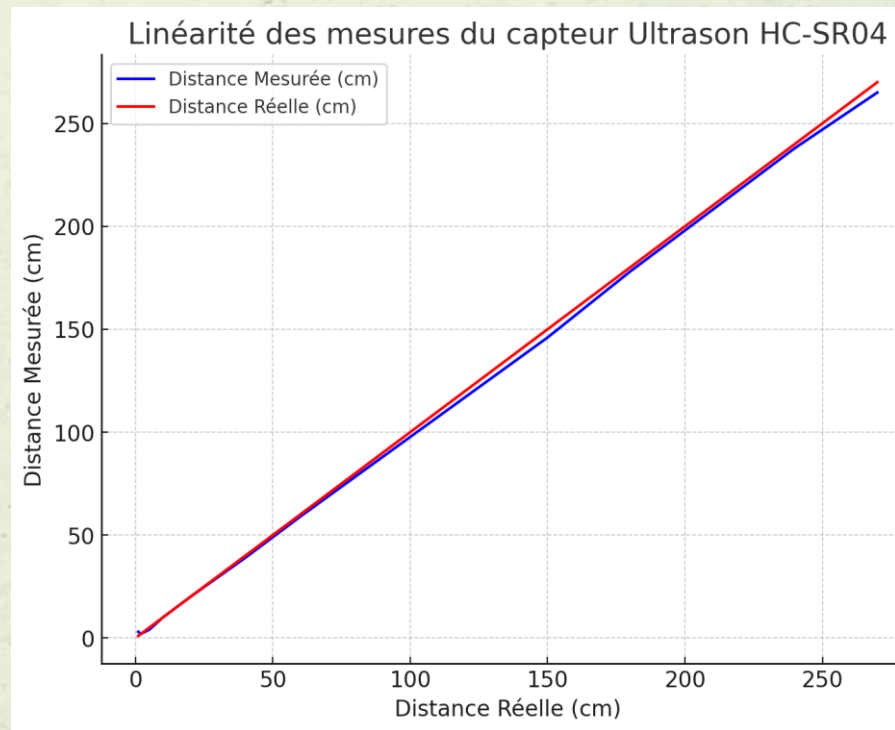


Fig 14 : Linéarité du capteur pour valeurs de 1cm à 270 cm



Résultats de l'expérience : Erreur de mesure

$$\varepsilon = \frac{|Distance_{Réelle} - Distance_{Mesurée}|}{Distance_{Réelle}} \times 100$$

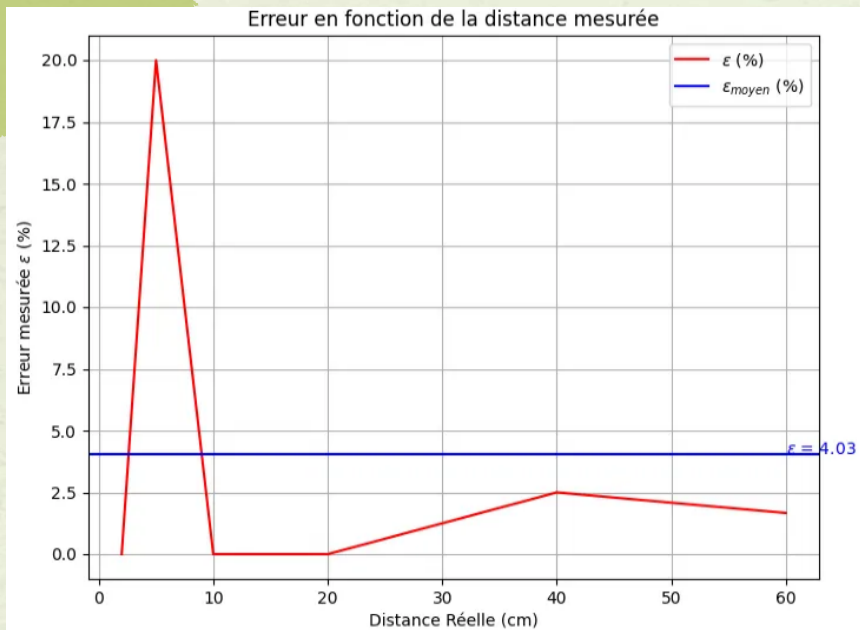


Fig 15 : Erreur relative pour valeurs de 1cm à 50 cm

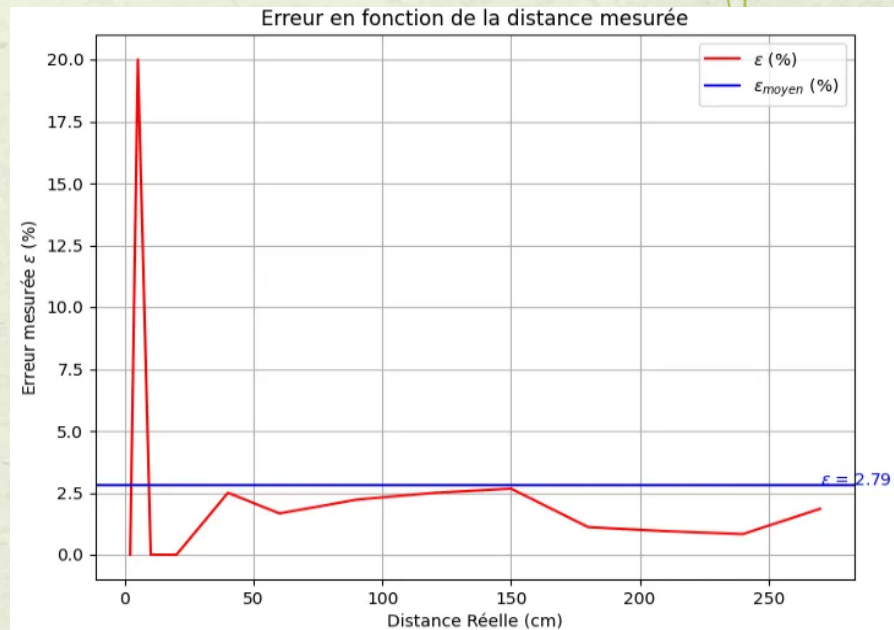


Fig 16 : Erreur relative pour valeurs de 1cm à 50 cm



Expérience de détermination de cône de mesure

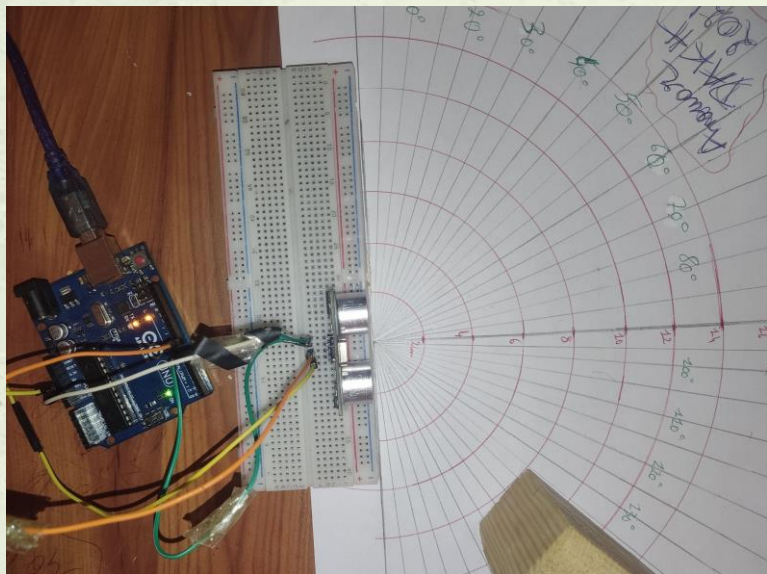


Fig 17 : Montage réel de l'expérience

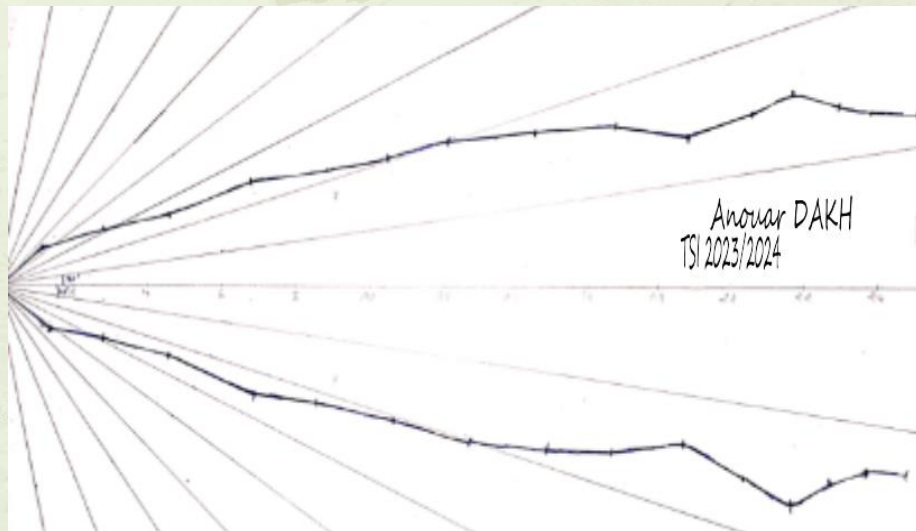


Fig 18 : Angle de mesure du capteur HC-SR04

Résultats de l'expérience:

Cône de mesure $\approx 20^\circ$



Mesure de distance par Infrarouge «SHARP GP2Y0A21YK»:

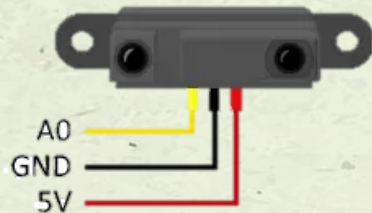


Fig 19 : Capteur SHARP GP2Y0A21YK

Caractéristique	Valeur
Plage de mesure	10 cm à 80 cm
Résolution de la mesure	Environ 5 mm
Angle de mesure efficace	5 degrés
Fréquence des impulsions	38 kHz
Tension d'alimentation	5V CC
Durée minimale de chaque cycle de mesure	Environ 16.5 ms

Fig 20 : Tableau de caractéristique du SHARP GP2Y0A21YK

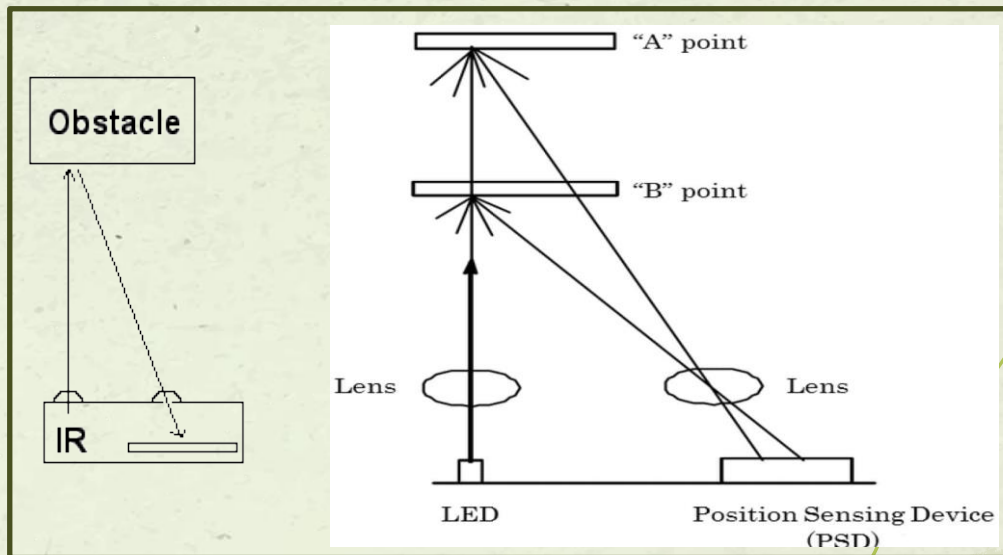


Fig 21 : Schéma démonstratif du fonctionnement du SHARP GP2Y0A21YK



Choix du capteur de mesure:

Comparaison de l'ultrason et l'infrarouge

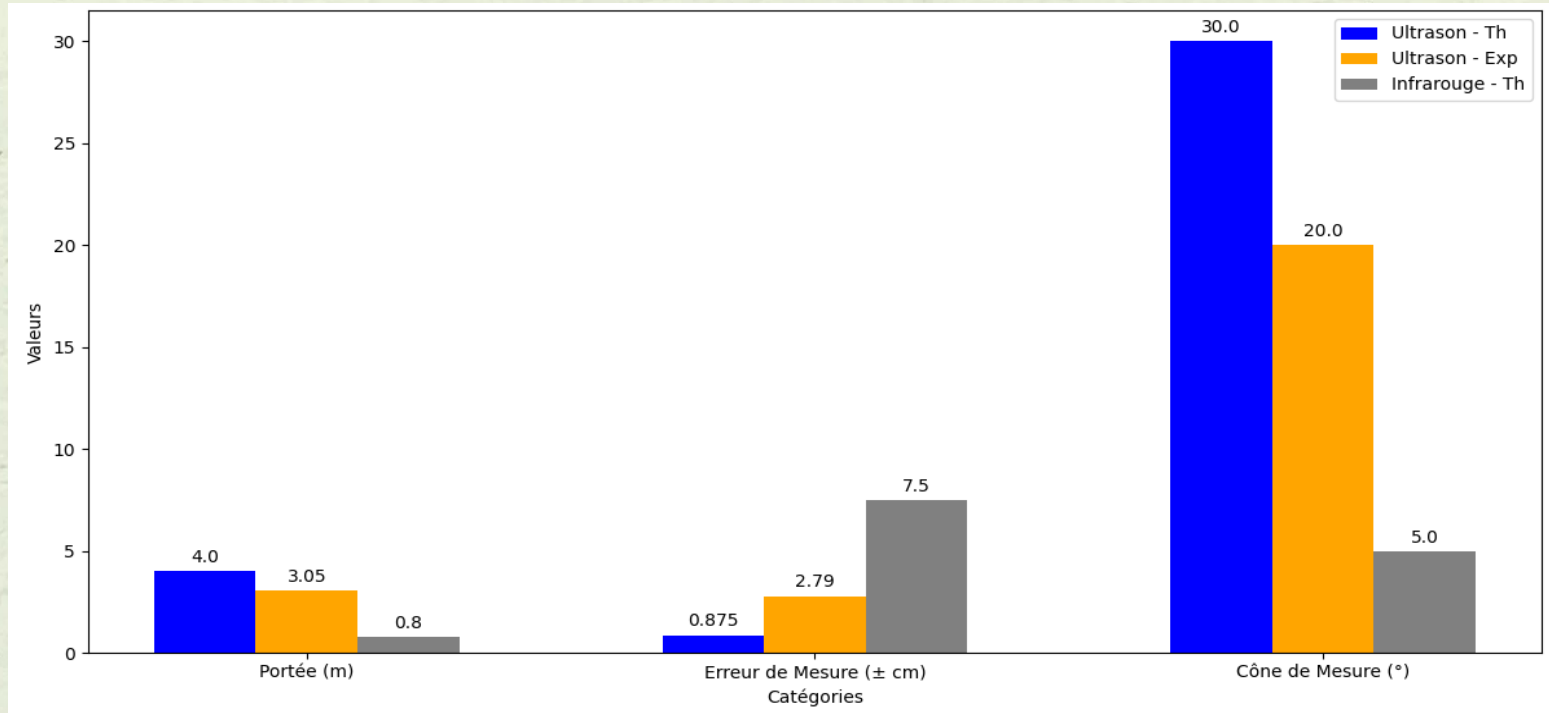


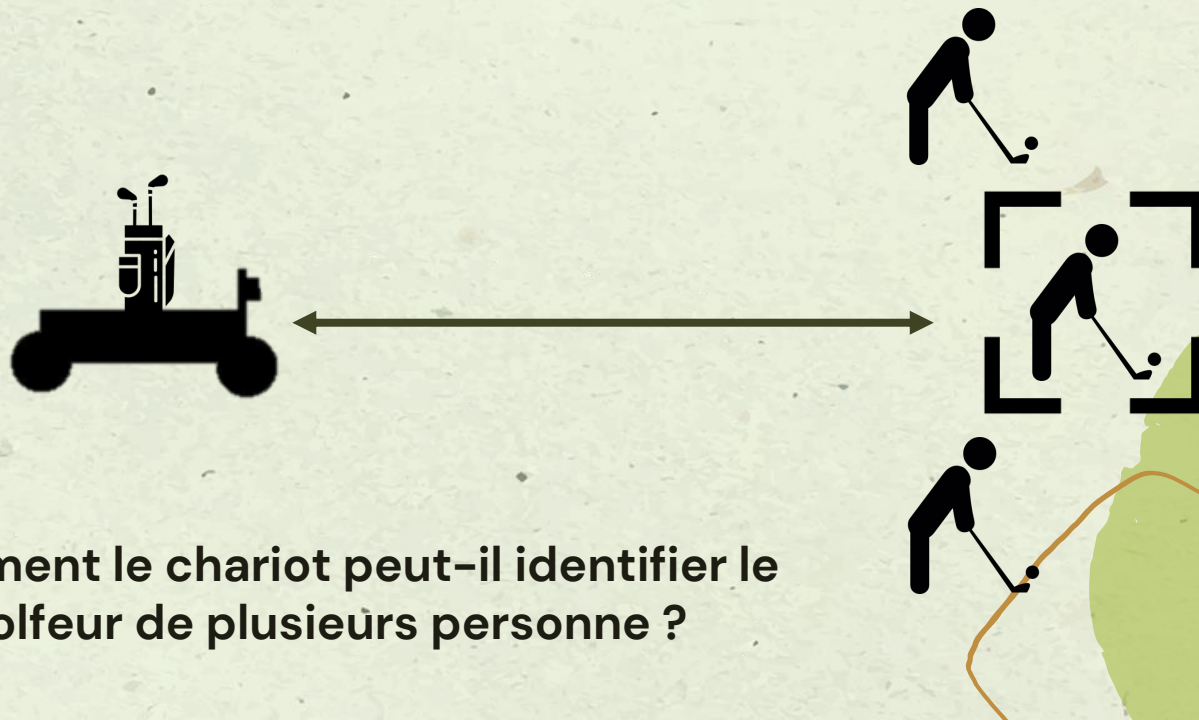
Fig 22 : Graphe de comparaison de l'ultrason et l'infrarouge



Le capteur ultrason HC-SR04 est idéal



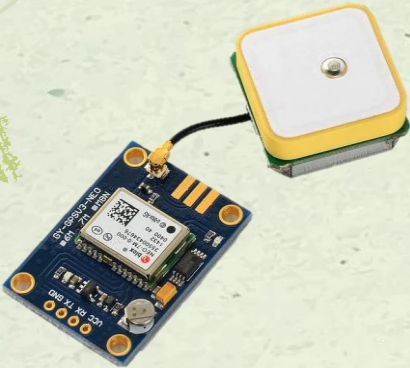
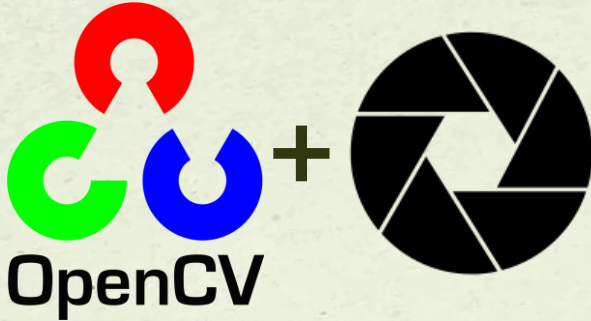

2-Détection et identification du golfeur:



Comment le chariot peut-il identifier le golfeur de plusieurs personne ?



Les technologies de détection et d'identification

		
GPS	Traitement d'image	Bluetooth

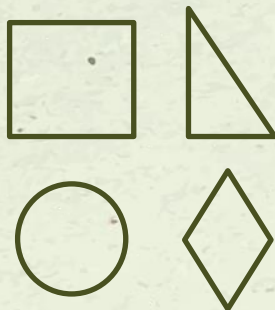


Comment détecter le golfeur?

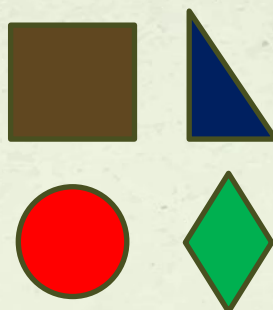
Afin d'identifier une personne spécifique, une étiquette placée sur le golfeur suivi peut être utilisé .



Pièce à une couleur simple



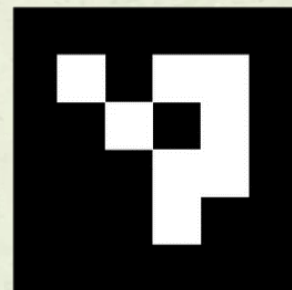
Pièce à une forme simple



Pièce à une forme simple colorée



Code QR



Marqueur ArUco



Principe de détection de couleur par OpenCV

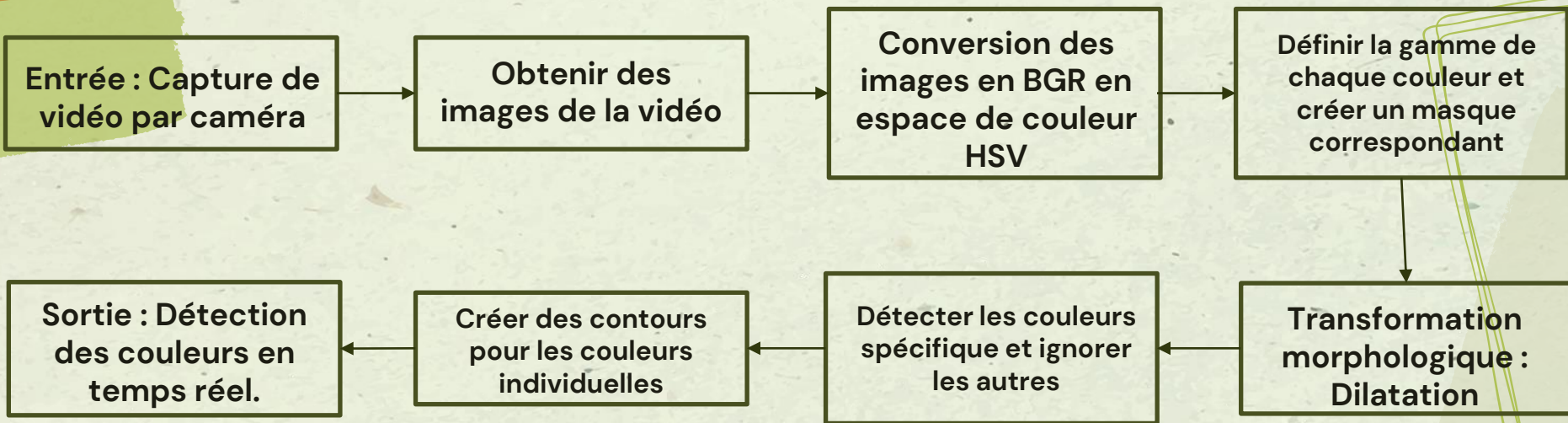


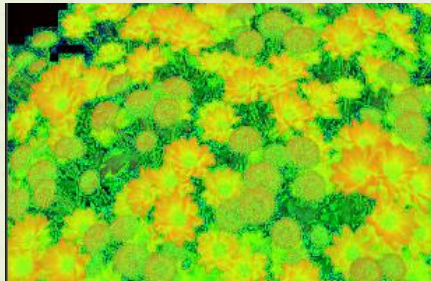
Fig 23 : Schéma expliquant le principe de détection de couleur par OpenCV



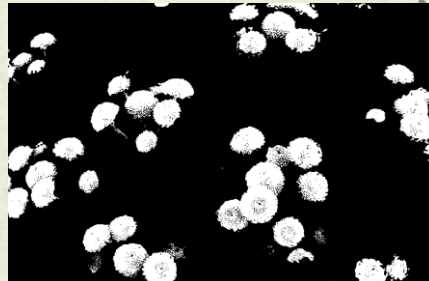
Principe de détection de couleur par OpenCV



Image en BGR (RGB inversé)



Conversion vers espace de couleurs HSV



Masquage de couleur à détecter par intervalles (H,S,V)



Couleur à détecter

Isolation de la couleur par des opérations morphologiques



Résultats de détection de couleur

En détectant les contours des taches blanches, on obtient les coordonnées de position de la couleur sur le plan de la caméra



Fig 24 : Résultat final de détection de la couleur vert



Expérience de détection de couleur

Etiquette à une seule couleur

```
Etiquette detecté à x: 279.9992980957031, y: 344.88677978515625
Etiquette detecté à x: 279.9992980957031, y: 344.88677978515625
Etiquette detecté à x: 279.9992980957031, y: 344.88677978515625
Etiquette detecté à x: 280.1640930175781, y: 344.889892578125
Etiquette detecté à x: 279.9992980957031, y: 344.88677978515625
Etiquette detecté à x: 279.9701843261719, y: 345.3744201660156
Etiquette detecté à x: 280.3727722167969, y: 345.4050598144531
Etiquette detecté à x: 280.3727722167969, y: 345.4050598144531
Etiquette detecté à x: 280.52142333984375, y: 345.8966369628906
Etiquette detecté à x: 279.9992980957031, y: 344.88677978515625
Etiquette detecté à x: 280.3363342285156, y: 345.89312744140625
Etiquette detecté à x: 280.3363342285156, y: 345.89312744140625
Etiquette detecté à x: 279.9701843261719, y: 345.3744201660156
Etiquette detecté à x: 280.14190673828125, y: 345.3777160644531
Etiquette detecté à x: 279.9925231933594, y: 345.0
Etiquette detecté à x: 279.7727355957031, y: 344.5
Etiquette detecté à x: 279.7727355957031, y: 344.5
Etiquette detecté à x: 279.6194152832031, y: 344.5
Etiquette detecté à x: 279.5970153808594, y: 344.0
Etiquette detecté à x: 279.5970153808594, y: 344.0
Etiquette detecté à x: 279.5970153808594, y: 344.0
Etiquette detecté à x: 279.5970153808594, y: 344.0
Etiquette detecté à x: 279.900390625, y: 344.4148254394531
Etiquette detecté à x: 279.900390625, y: 344.4148254394531
Etiquette detecté à x: 279.9626770019531, y: 344.5
Etiquette detecté à x: 279.9626770019531, y: 344.5
```



Fig 25 : Résultat réelle de détection d'étiquette de couleur vert en temps réel



Principe de détection de formes par OpenCV

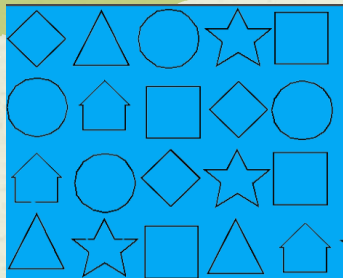
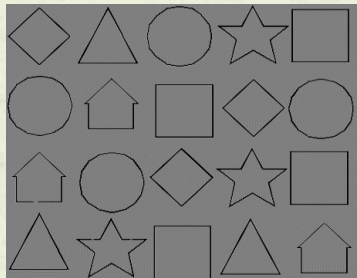
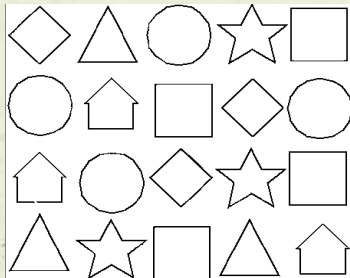


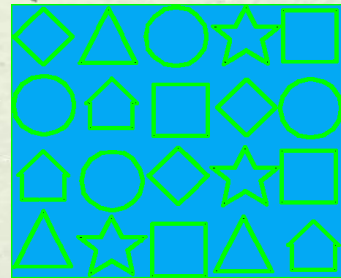
Image normale



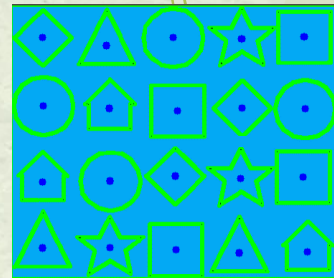
Conversion en
niveau gris



Application de
seuillage



Trouver les
contours

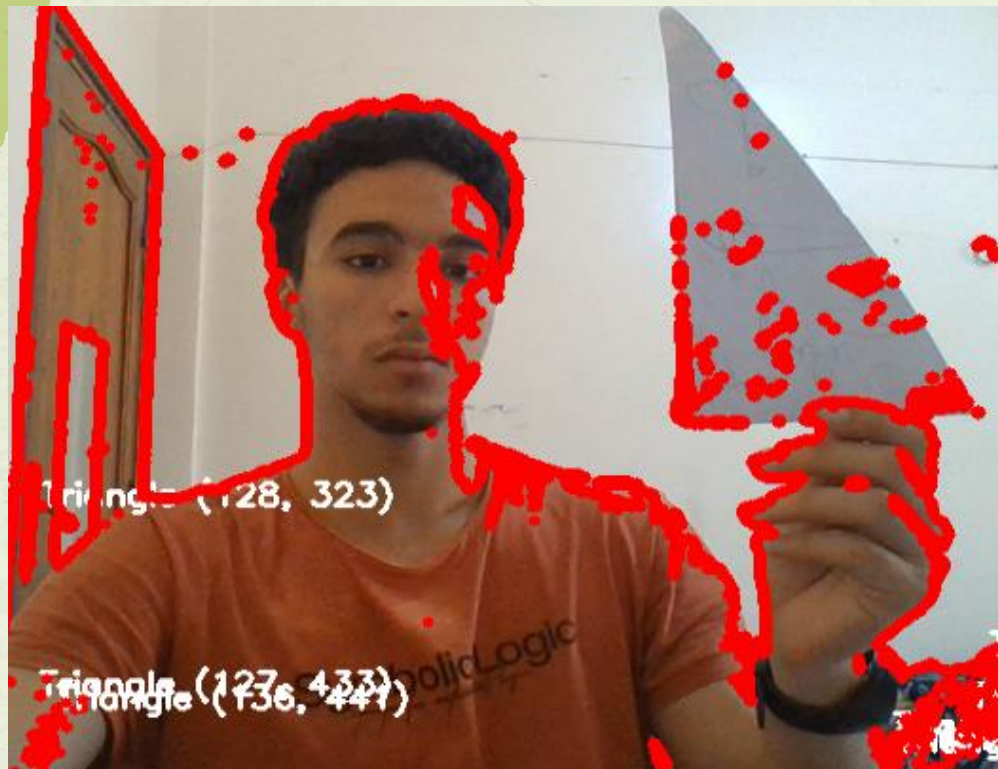


Trouver les
centres



Expérience de détection de formes

Etiquette à une forme unique



Mauvaise détection

**On ajoute la couleur
spécifique de la forme
géométrique pour avoir
une meilleure détection**

Fig 26 : Résultat réelle de détection d'étiquette de forme triangle en temps réel



Expérience de détection de formes

Etiquette à une forme unique à couleur spécifiée

```
centre du triangle à: (496, 287)
centre du triangle à: (496, 287)
centre du triangle à: (495, 287)
centre du triangle à: (495, 286)
centre du triangle à: (496, 286)
centre du triangle à: (496, 285)
centre du triangle à: (496, 285)
centre du triangle à: (496, 284)
centre du triangle à: (495, 283)
centre du triangle à: (495, 283)
centre du triangle à: (496, 283)
centre du triangle à: (496, 283)
centre du triangle à: (495, 282)
centre du triangle à: (496, 282)
centre du triangle à: (497, 281)
centre du triangle à: (497, 282)
centre du triangle à: (497, 281)
```

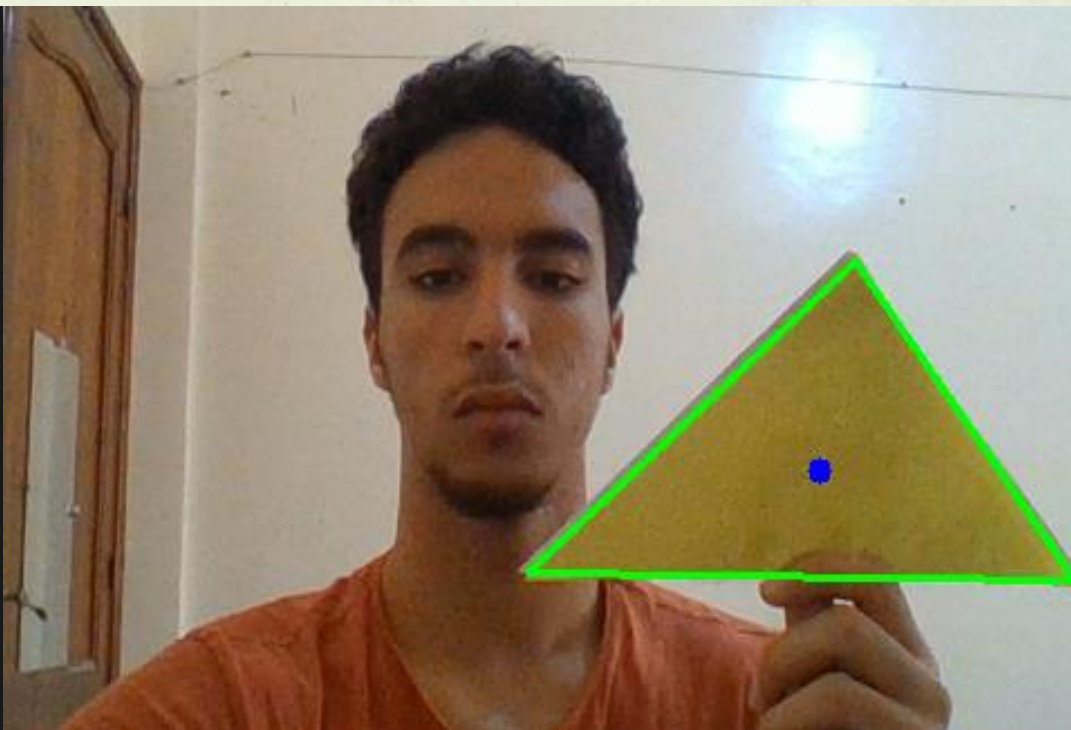


Fig 27 : Résultat réelle de détection d'étiquette triangulaire de couleur jaune en temps réel



Résultats des expériences:

Etiquette à une seule couleur et étiquette couleurs multiples :

Requis : Illumination uniforme + Absence des objets de même couleurs

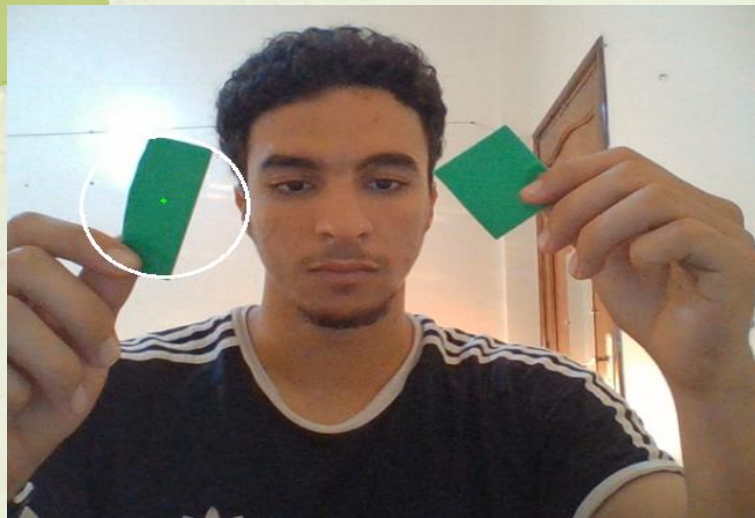


Fig 28 : Détection d'étiquette fausse

Requis : Illumination uniforme+ Absence des objets de même forme et couleur



Fig 29 : Etiquette non détecté

Identification et suivi possible mais pas fonctionnel en vie réelle.



Code QR ou marqueur ArUco?



Fig 30 : Code QR à clé « chariot autonome »

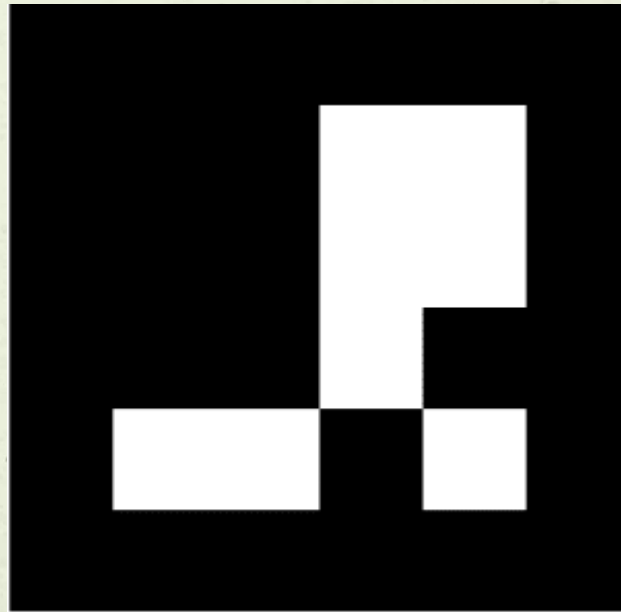


Fig 31 : Marqueur ArUco à id 2



Détection du marqueur ArUco

On utilise la fonction `cv2.aruco.detectMarkers()` de la bibliothèque *OpenCV* afin de :

- 1) Identifier les marqueurs ArUco en récupérant les coordonnées des quatre coins.
- 2) Décoder l'identifiant contenu dans ces marqueurs.



Expérience et résultats de détection de code QR

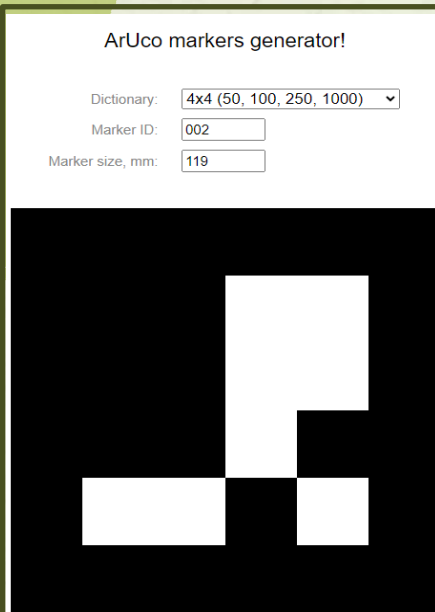


Fig 32 : génération de code QR



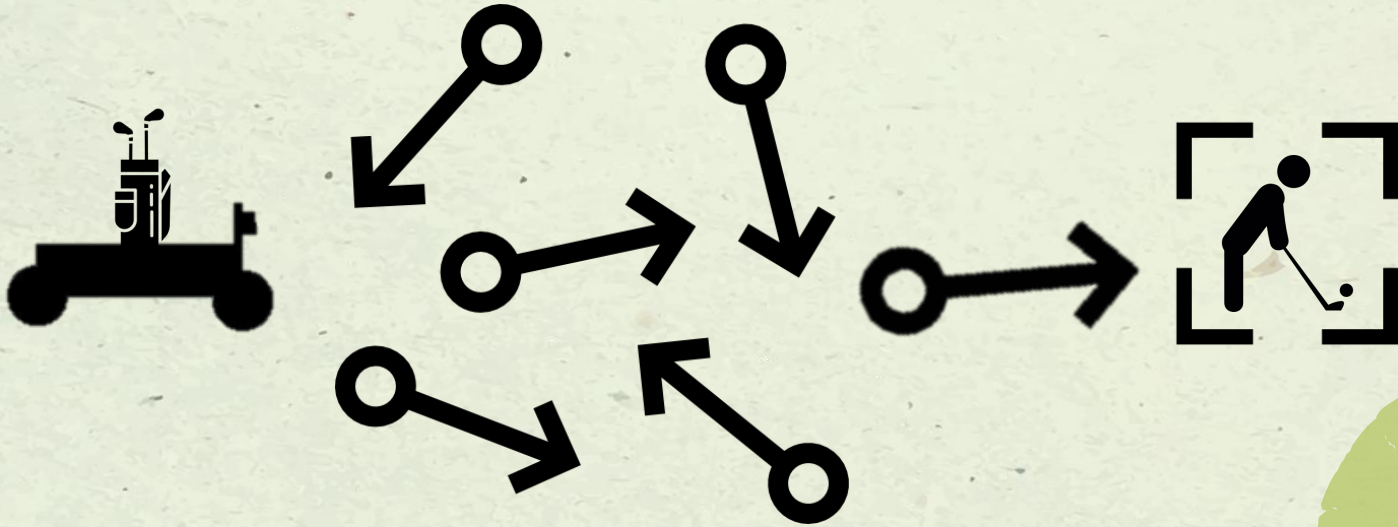
Fig 33 : Résultat réelle de détection d'étiquette marqueur ArUco en temps réel

- Ne nécessite pas une illumination uniforme
- Fausse détection improbable à cause du texte codée

✓ Identification et suivi par marqueur ArUco est idéal pour application réelle .



3-Asservissement de position



Comment peut-on orienter le chariot vers la personne détectée?



Mesure de l'angle θ

Calcule de l'angle θ :

$$\theta = \arctan\left(\frac{x}{D}\right)$$

Avec:

θ : Angle d'orientation de l'utilisateur (degré)

x : Abscisse du centre de l'étiquette détectée (cm)

D : Distance de suivie mesurée par l'ultrason (cm)

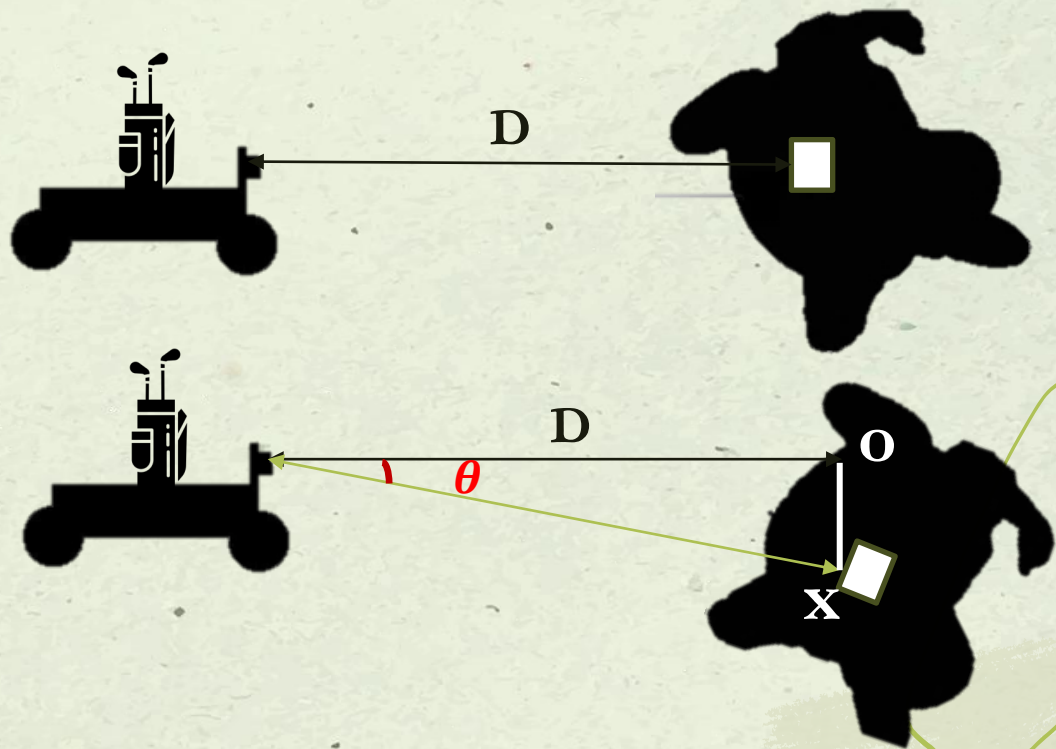


Fig 34 : Schéma explicatif de mesure de θ



Orientation du robot grâce à l'angle θ

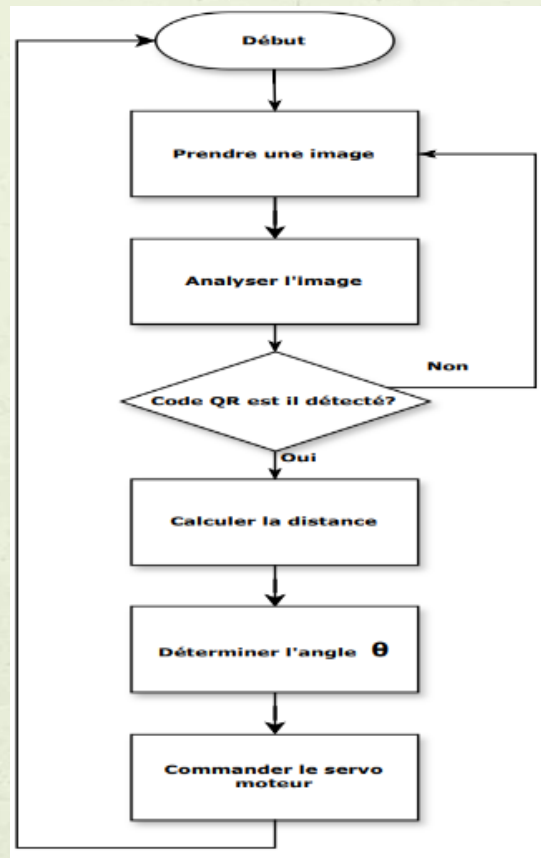
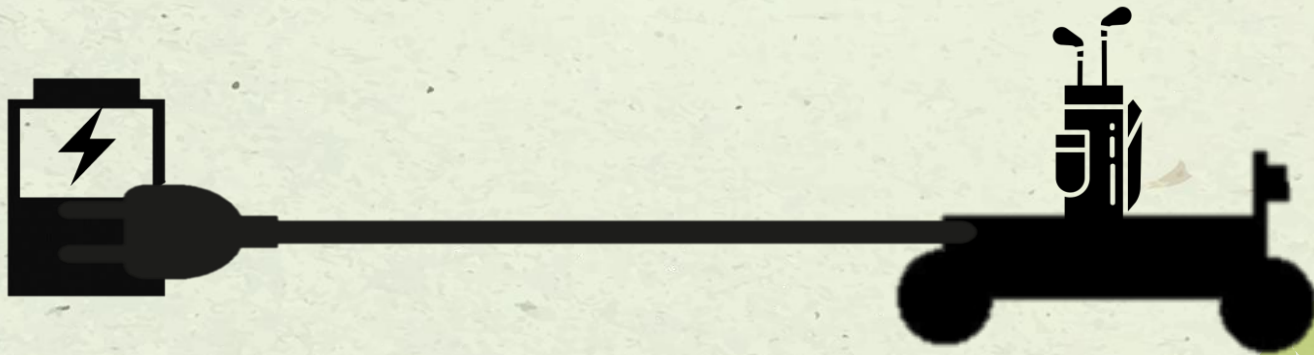


Fig 35 : Organigramme de fonctionnement



4-Alimentation du système :



Comment peut-on alimenter le robot chariot pour qu'il puisse fonctionner suffisamment longtemps sans interruption?



Dimensionnement de batterie

Capacité de la batterie:

Avec:

C : Capacité de batterie en Ah

Δt : durée de fonctionnement en h

I : intensité totale du courant consommé

$$I = \sum I_i = 1.252A$$

Donc la capacité de batterie nécessaire pour un fonctionnement de 6h est :

$$C = 7.512Ah$$

$$C = \Delta t \times I$$

Composant	Courant max consommé	Tension max consommé
Arduino UNO	100 mA	5 V
2 Motoréducteurs	2x 250 mA	2x 12 V
Servo moteur	240 mA	9 V
Ultrason HC-SR04	15 mA	5 V
Camera ESP32	400 mA	3.3 V



Dimensionnement de panneau solaire

Énergie nécessaire :

$$E = C \times V = 90.114 \text{ Wh}$$

Énergie nécessaire en
considérant les pertes :

Efficacité de batterie=85% , Efficacité des panneau=75%
Efficacité totale=e=63.75%

$$E_t = \frac{E}{e} = 141.38 \text{ Wh}$$

Puissance requise :

Heures d'ensoleillement moyen par jour à Agadir : T=5h

$$P = \frac{E}{T} = 28.28 \text{ W}$$



Alimentation du système

Afin que le chariot fonctionne au moins 6h par jour on a besoin de :

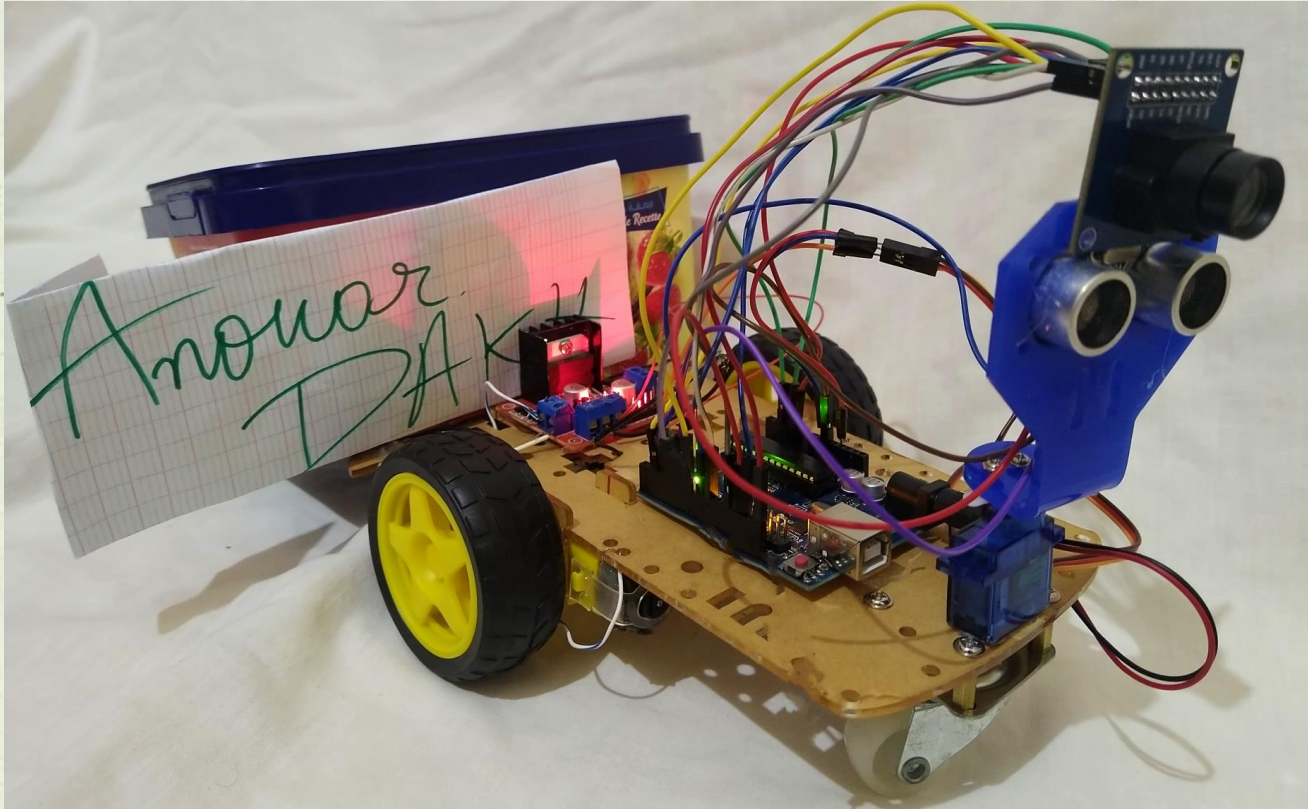


Panneau solaire 30W avec $S=0.33m^2$



Batterie Lithium-Ion 8Ah 12V

Conclusion





**Merci pour
votre attention**